分子识别技术分离提纯钯的工艺实验

吴喜龙, 贺小塘, 李 勇, 赵 雨, 王 欢* (贵研资源(易门)有限公司, 云南 玉溪 651100)

摘 要:采用分子识别材料 SuperLig[®]2从含铂钯的溶液中选择性分离钯,钯吸附率大于99%,吸附、洗脱过程钯的直收率为95.87%,总收率为98.04%;得到的洗脱液氧化处理后生成钯沉淀,再经水合肼还原即可得到纯度为99.99%的钯粉。与传统的沉淀分离工艺相比,分子识别技术的生产流程短、铂不容易分散、操作方便、三废量少。

关键词: 冶金技术: 分子识别技术: 铂钯分离: 钯精炼

中图分类号: TF833 文献标识码: A 文章编号: 1004-0676(2022)03-0027-04

Experimental study on the separation and purification of palladium by molecular recognition technology

WU Xi-long, HE Xiao-tang, LI Yong, ZHAO Yu, WANG Huan*
(Sino-Platinum Metals Resources (Yimen) Co. Ltd., Yuxi 651100, Yunnan, China)

Abstract: The molecular recognition material SuperLig[®]2 was used to selectively separate palladium from the solution containing platinum and palladium. The adsorption rate of palladium was more than 99%, and the direct yield of palladium was 95.87%, and the total yield was 98.04%. The obtained palladium eluent was oxidized to obtain palladium precipitation, which is then reduced by hydrazine hydrate to obtain palladium powder with a purity of 99.99%. Compared with the traditional precipitation separation process, the molecular recognition technology has a shorter production process, less platinum dispersion, convenient operation and less waste.

Key words: metallurgical technology; molecular recognition technology; separation of platinum and palladium; palladium refining

分子识别(Molecular recognition)原理是利用特殊设计的大环化合物或配体,从溶液中选择吸附目标离子而其它离子不被吸附,实现目标离子的分离,同时可以通过条件的改变使吸附的目标离子解吸。由于选择性极高,目标离子可以得到有效的分离和富集[1-2]。分子识别技术的操作类似于离子交换,是一种液-固萃取技术,是近年发展起来的新技术,由于其极高的选择性,在铂族金属精炼行业受到高度重视[3]。由美国 IBC 公司开发的分子识别材料 SuperLig®已经在英帕拉(Impala)、田中贵金属

(TKK)、中国台湾光洋等国际知名贵金属公司得到应用[4-6]。

贵研资源(易门)有限公司采用等离子炉富集失效汽车催化剂中的铂族金属,含铂、钯、铑的富集物用盐酸、氯气溶解,得到铂、钯、铑氯配合物溶液,再用 SuperLig®190分离提纯铑^[7-8],剩余的铂、钯采用传统工艺分离提纯。优先分离铑改变了铂、钯、铑的回收生产顺序,铑的生产周期更短、回收率高、产品质量好。在铑价居高不下的市场环境下,采用分子识别分离精炼铑的工艺取得了较好的经济

收稿日期: 2021-07-15

基金项目:云南省科技人才和平台计划项目(2018HB112); 固废资源化专项(2019YFC1907505)

第一作者: 吴喜龙, 男, 高级工程师。研究方向: 贵金属冶金新技术。E-mail: 291283488@qq.com

^{*}通信作者:王 欢,男,高级工程师。研究方向:贵金属冶金及二次资源回收技术,E-mail: 75512702@qq.com

效益。

分子识别分离提纯铑以后,溶液中剩余大量的铂、钯和少量的铑。按照经典的沉淀分离提纯工艺,需要先沉淀分离铂,再精炼提纯钯,分离和精炼过程冗长,铂和钯的直收率偏低^[8-10]。汽车催化剂中钯的数量最大,而且目前钯的价格也处于历史高位,因此快速高效分离提取钯,具有非常重要的经济价值。本研究拟采用 SuperLig[®]2优先分离提纯钯,缩短钯的生产周期,提高钯的回收率,进一步优化失效汽车催化剂回收生产工艺。

1 实验部分

1.1 实验原料

实验原料为汽车废催化剂铁合金富集物的盐酸溶液,用分子识别方法分离铑之后的溶液,含有较多的铂和钯,铑含量极低,酸度为6 mol/L,氧化还原电位为850 mV。实验所用溶液成分及浓度如表1所示。

表1 原料溶液的成分

Tab.1 Composition of raw material solution

元素	Pt	Pd	Rh	Fe	Cu
浓度/(mg/L)	4036	25200	24	6995	1428

1.2 试剂和设备

SuperLig® 2分子识别材料购自美国 IBC 高技术公司。该材料为特殊有机配体键合在硅胶、聚合物等固体载体上构成的特种树脂,为白色小颗粒,粒径约 0.5 mm。实验使用的盐酸、亚硫酸铵、亚硫酸钠、氢氧化钠、双氧水、氨水、水合肼均为分析纯。

溶液中铂、钯、铑及杂质离子的浓度分析均采用电感耦合等离子体原子发射光谱仪(ICP-AES,美国 PerkinElmer 公司 Optima 7000 DV)定量测定,溶液电位及 pH 值的测定采用便携式 ORP 检测仪(德国 WTW 公司 PH3210)。

1.3 实验方法

1.3.1 实验过程

采用美国 IBC 公司生产的分子识别材料 SuperLig® 2对铂钯溶液进行分离提纯,工艺流程如图 1 所示。

1.3.2 钯的吸附与洗脱

将待处理溶液用亚硫酸钠溶液调节氧化还原电位至 725 mV,降低溶液的氧化性,这样能延长分子

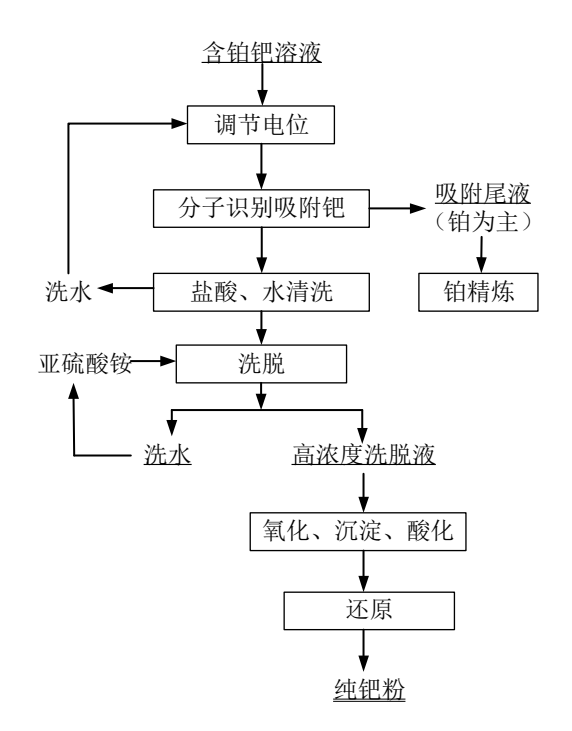


图 1 分子识别技术分离提纯钯的工艺流程

Fig.1 Flow chart of separation and purification of palladium by molecular recognition technology

识别材料的使用寿命。

取 200 g 分子识别材料 SuperLig[®] 2,装入 2 根离子交换柱中,每根装100 g,2 根柱子串联连接。树脂用去离子水浸没,搅拌赶出树脂中的气泡。用蠕动泵将溶液按照 0.5 mL/min 的速度流过交换柱。溶液输送完毕后,用 0.5 mL/min 的速度依次泵入 1 mol/L 的盐酸和去离子水,清洗 SuperLig[®] 2材料上附着的杂质。交换的尾液、酸洗尾液、水洗尾液均分开收集,取样检测。

洗涤完毕,用 1 mol/L 的亚硫酸铵溶液洗脱 SuperLig® 2材料上吸附的钯,洗脱流速为 0.25 mL/min,洗脱完毕用蠕动泵以 0.5 mL/min 的速度加入 150 mL 去离子水冲洗。洗脱液和洗水分类收集,检测钯及杂质离子浓度。

1.3.3 洗脱液中钯的精制

将高浓度的洗脱液合并,加入双氧水破坏其中的亚硫酸盐,直至溶液电位达到 700 mV 以上。加入氨水调节溶液 pH 值至 10 后过滤。滤液加入盐酸调节 pH 值至 1,生成黄色钯盐沉淀,过滤。将钯盐沉淀加水浆化,加入氢氧化钠调整 pH 值至 12 以上,缓慢滴加水合肼,然后加热至沸腾。冷却过滤,用去离子水洗涤后得到灰色的钯粉。钯粉 120℃烘干后称重,取样检测钯粉的品质。

2 结果与讨论

2.1 钯的吸附分离

采用同一种溶液和同一套实验装置,依次进行了 4 次吸附和洗脱实验。每次吸附进液量为 0.50 L,酸洗溶液为 0.20 L、水洗溶液量为 0.15 L,洗脱液用量为 0.40 L,洗水用量为 0.15 L,每次吸附和洗脱的溶液情况分别列于表 2~表 5。

表 2 第一次吸附、洗脱过程溶液浓度变化

Tab.2 Change of solution concentration during the first adsorption and elution cycle

	•							
溶液种类		体积/L	浓度/(mg/L)					
俗	似作矢	144六/L	Pt	Pd	Rh	Fe	Cu	
	吸附尾液	0.50	2959	<1	10	5581	1104	
吸附	酸洗尾液	0.20	2570	4685	14	2989	779	
	水洗尾液	0.15	25	1410	1	71	8	
洗脱	洗脱液	0.40	6	27810	<1	15	<1	
初日初七	洗水	0.15	<1	1621	<1	<1	<1	

表 3 第二次吸附、洗脱过程溶液浓度变化

Tab.3 Change of solution concentration during the second adsorption and elution cycle

	_							
溶液种类		体积/L	浓度/(mg/L)					
俗	似作矢	144六/L	Pt	Pd	Rh	Fe	Cu	
	吸附尾液	0.50	2928	<1	10	5557	1080	
吸附	酸洗尾液	0.20	2365	4447	19	2779	742	
	水洗尾液	0.15	3	1327	1	32	1	
VF 114	洗脱液	0.40	9	27263	<1	20	<1	
洗脱	洗水	0.15	<1	1572	<1	<1	<1	

表 4 第三次吸附、洗脱过程溶液浓度变化

Tab.4 Change of solution concentration during the third adsorption and elution cycle

	1		,					
溶液种类		体积/L	浓度/(mg/L)					
	似作矢	144六/L	Pt	Pd	Rh	Fe	Cu	
	吸附尾液	0.50	2968	<1	8	5662	1054	
吸附	酸洗尾液	0.20	2471	4881	17	2645	685	
	水洗尾液	0.15	18	1027	<1	88	9	
洗脱	洗脱液	0.40	10	29024	<1	20	<1	
1) L AIL	洗水	0.15	2	1618	<1	<1	<1	

表 5 第四次吸附、洗脱过程溶液浓度变化

Tab.5 Change of solution concentration during the fourth adsorption and elution cycle

· · · · · · · · · · · · · · · · · · ·	溶液种类		浓度/(mg/L)					
稻	视性关	体积/L Pt I		Pd	Rh	Fe	Cu	
	吸附尾液	0.50	2932	<1	8	5591	1129	
吸附	酸洗尾液	0.20	2874	7058	37	2517	744	
	水洗尾液	0.15	5	1624	<1	75	2	
洗脱	洗脱液	0.40	8	25813	<1	25	<1	
7正月光	洗水	0.15	2	1710	<1	<1	<1	

从 4 次吸附、洗脱过程溶液浓度变化可以看出,对于钯含量约 20 g/L 的铂钯溶液,流经 SuperLig® 2 交换柱后,吸附尾液中钯浓度低于 1 mg/L,钯吸附率达到 99%以上,铂、铑、铁、铜等杂质元素的吸附能力较弱,钯的分离效果明显。

使用亚硫酸铵洗脱液从 SuperLig[®] 2材料上洗脱钯,可以得到钯浓度在 20~30 g/L 的高浓度洗脱液,洗脱液中有微量铂和铁等杂质,铑、铜等均未检出。

吸附尾液以铂为主, 收集后进入铂精炼提纯生产线。洗脱过程的洗水可用于配置亚硫酸钠洗脱液。

吸附完毕、用盐酸和去离子水清洗树脂时,可以洗脱 SuperLig® 2材料上夹带、吸附的杂质元素,同时有少量钯也会进入清洗液。将 4 次实验产生的酸洗尾液、水洗尾液合并,体积为 1.40 L。按照与原液相同的实验条件返回进行吸附和洗脱实验,结果列于表 6。由表 6 结果可见,对于酸洗尾液和水洗尾液,SuperLig® 2仍能很好的选择性吸附钯,洗脱过程的表现也与原料溶液一致,表明酸洗尾液和水洗尾液返回再次吸附钯是可行的。

表 6 尾液的吸附、洗脱过程浓度变化

Tab.6 Change of tail fluid concentration during the adsorption and elution cycle

溶液种类		体积/L	浓度/(mg/L)					
行	拟作头	中/5\/ L	Pt	Pd	Rh	Fe	Cu	
	吸附尾液	1.40	1344	<1	11	1304	399	
吸附	酸洗尾液	0.20	1193	2539	8	942	237	
	水洗尾液	0.15	26	833	1	65	3	
洗脱	洗脱液	0.40	5	10425	<1	15	<1	
1) LANC	洗水	0.15	1	724	<1	<1	<1	

2.2 洗脱液精制提纯钯

4 次吸附合计使用原料液 2.00 L, 其中含钯50.40 g。将 5 次实验得到的钯洗脱液合并,溶液体积为 2.00 L, 测得钯浓度为 24.16 g/L, 含钯 48.32 g。其余的钯主要分散在洗脱过程的洗水中,总体积为0.75 L, 计算含钯 1.09 g。吸附、洗脱过程钯的回收率为 95.87%, 钯的总收率为 98.04%。

高浓度的钯洗脱液按照实验流程依次进行氧化、沉淀、还原,干燥后得到钯粉 45.32 g, 钯粉送样检测分析结果如表 7 所列。

表 7 产品钯粉的杂质含量与国家标准的对比

Tab.7 Comparison of impurity content of product palladium

	/%				
元素	SPM-Pd 99.99	测定值	元素	SPM-Pd 99.99	测定值
Pt	0.003	< 0.0005	Pb	0.002	< 0.0005
Rh	0.002	< 0.0005	Mn	0.002	< 0.0005
Ir	0.002	< 0.0005	Cr	0.002	< 0.0005
Ru	0.003	< 0.0005	Mg	0.002	< 0.0005
Au	0.002	< 0.0005	Sn	0.002	< 0.0005
Ag	0.001	< 0.0005	Si	0.003	< 0.0005
Cu	0.001	< 0.0005	Zn	0.002	< 0.0005
Fe	0.001	< 0.0005	Bi	0.002	< 0.0005
Ni	0.001	< 0.0005	Na	/	0.0016
Al	0.003	< 0.0005	K	/	0.0008
烧损	0.10	0.0035			

将产品钯粉的杂质元素含量分析结果与 GB/T 1420-2015^[11]对比,产出的钯粉杂质元素含量及烧损率均符合国标 SPM-Pd99.99 杂质要求,产品纯度达到 99.99%。

虽然表 2~表 6 的洗脱液中均含有铂、铁等杂质,但是杂质元素浓度较低,而且后续的氧化、调碱过滤、酸化过滤等步骤仍具有一定的分离提纯功能,因此,产出的钯粉纯度能够满足标准要求。

2.3 技术经济对比

经典的钯分离提纯工艺为化学沉淀工艺,反复酸化络合,利用钯与杂质元素溶解度的差异分离杂质。对于本实验的原料液,一般需酸化-络合3次,产品钯粉中铂的含量才能达标。在酸化-络合过程中,酸化水、络合渣中均含有铂、钯,需要再次处理,而且酸化-络合过程需要用到较多的盐酸、氨水,试剂成本高、废水量大。

本实验采用的分子识别技术可以选择性的吸附 钯,而且一级吸附即可实现钯的高效吸附,生产流 程缩短,铂不容易分散,操作方便、时间短、成本低、三废量少。缺点在于分子识别材料价格昂贵,一次性投入较大。由于分子识别技术分离钯在国内尚无规模化使用的案例,工艺成熟度还需验证。

3 结论

- 1) 采用分子识别材料 SuperLig[®]2 选择性吸附 钯,吸附尾液中钯浓度低于 1 mg/L,酸洗尾液和水洗尾液可返回再次吸附钯,钯的洗脱剂为亚硫酸铵溶液,吸附、洗脱过程钯的直收率为 95.87%、总收率为 98.04%。过程产生的洗水可用于配置亚硫酸铵洗脱剂。
- 2) 钯的洗脱液经过氧化、沉淀、还原等操作后得到产品钯粉, 钯粉的质量满足国标 99.99%海绵钯的标准要求。
- 3) 与传统的沉淀分离工艺相比,分子识别技术 分离精炼钯的工艺流程更短、生产速度更快、试剂 用量少,更绿色环保。

参考文献:

- [1] 孟范平, 刘娇. 分子印迹聚合物及其在固相萃取中的应用[J]. 中国海洋大学学报(自然科学版), 2008, 4(2): 237-243.
 - MENG F P, LIU J. Molecular imprinting polymers and their application to solid phase extraction[J]. Periodical of Ocean University of China (Natural Science Edition), 2008, 4(2): 237-243.
- [2] 李玲玲. 分子印迹技术在固相萃取中的应用[J]. 广东化工, 2011, 38(11): 78.
 - LI L L. Application of molecular imprinting technology in solid phase extraction[J]. Guangdong Chemical Industry, 2011, 38(11): 78.
- [3] 李耀威,杨明珠,王芝元.分子识别技术在金属分离回收中的应用研究进展[J].安全与环境学报,2013(3):93-96
 - LIYW, YANG MZ, WANG ZY. Application of molecular recognition technology in metal separation and recovery[J]. Journal of Safety and Environment, 2013(3): 93-96.
- [4] 贺小塘, 韩守礼, 吴喜龙, 等. 分子识别技术在铂族金属分离提纯中的应用[J]. 贵金属, 2010, 31(1): 53-56. HE X T, HAN S L, WU X L, et al. Application of molecular recognition technology in platinum group metals refining process[J]. Precious Metals, 2010, 31(1): 53-56.